

# FBG를 이용한 파장가변 형 전광필터의 고온 특성

\*손용환, 원용욱, 한상국  
연세대학교 전기전자공학과

e-mail : sonyh38@yonsei.ac.kr, bluejerry@yonsei.ac.kr, skhan@yonsei.ac.kr

## High-Temperature Characteristics of Tunable All-optical Filter Using Fiber Bragg Grating

\*Yong-Hwan Son, Yong-Yuk Won, Sang-Kook Han  
Dept. of Electric and Electronic Engineering  
Yonsei University

### Abstract

In this paper, we present high-temperature characteristics of tunable all-optic filter using fiber Bragg grating(FBG), including peak reflectivity, FWHM bandwidth, refractive index change along temperature variation. The characteristics of a FBG tunable filter with refractive index change is affected by its thermal stability.

### I. 서론

FBG(fiber bragg grating)는 격자의 브래그 조건에 따라 특정 파장만을 반사시키는 특성을 가지고 있으므로 필터를 설계하기에 매우 유용하며, 또한 브래그 조건을 변화시키는 것만으로 고정된 신호채널을 쉽게 가변할 수 있는 장점을 가진다[1]. 만약 송수신 채널의 변경을 위해 FBG 필터에 온도를 가하는 방법을 선택하게 된다면, 온도의 영향에 대한 FBG의 특성변화 및 안정성이 매우 중요한 기준이 될 것이다. 이에 본 논문에서는 고온의 온도변화에 따른 FBG 필터의 특성변화에 대해 해석하고, 온도안정성에 대한 그 특성을 고찰한다.

### II. 파장가변 형 FBG 필터

FBG 필터에 온도를 인가하였을 때, 온도에 따라 변화된 브래그 반사파장  $\lambda_{B(shift)}$  는 다음 식으로 된다.

$$\lambda_{B(shift)} = \lambda_B + ST_{FBG}\Delta T_{FBG} \quad (1)$$

여기에서  $\Delta T_{FBG}$  는 FBG 필터에 인가되는 온도의 변화이며, 온도변화에 따른 파장이동 값

$$ST_{FBG} = \frac{\Delta\lambda_B}{\Delta T_{FBG}} = \lambda_B(\alpha_n + \alpha_A) \text{ 이고, } (\alpha_n + \alpha_A) = 9.15 \times 10^{-6} \text{ 은}$$

게르마늄이 도핑 된 실리카 파이버의 열 확장 및 팽창 계수의 합이다[2]. FBG에 온도가 가해지면 격자의 굴절률차가 변화하게 되고 FBG 필터의 반사도에 영향을 미치게 된다. 이때 온도에 의해 변화한 굴절률 차,  $\Delta n_T$  는 다음 식으로 주어진다[3].

$$\Delta n_T = \Delta n_0 \frac{1}{(1+A \cdot t^\alpha)} \quad (2)$$

여기에서  $\Delta n_0 (= 2 \times 10^{-4})$  는 온도를 인가하기 전의 굴절률 차이고,  $A$  는 'Erdogan power law' 파라미터이며,  $t$  는 온도가 가해지는 시간이다[3]. FBG 필터의 반사도는 굴절률 차, 결합계수, 격자의 길이에 의해 결정되며, 다음 식에 의해 주어진다[2].

$$R(T) = \tanh^2 \left( \frac{\pi \Delta n_T L}{\lambda_B} \right) \quad (3)$$

FBG 필터의 FWHM 대역폭은 온도가 변화하면, 그에 따라 감소하며, 온도변화에 따른 FWHM 대역폭,  $\Delta\lambda(T)$  는 다음 식에 의해 주어진다[4].

$$\Delta\lambda(T) = \frac{\lambda_B^2 [\pi^2 + (\frac{\pi\Delta n_T}{\lambda_B} L)^2]^{1/2}}{\pi n_{eff} L} \quad (4)$$

### III. 수치해석

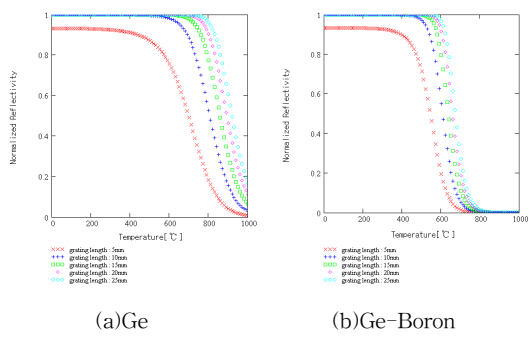


그림 1. 온도변화에 따른 반사도의 변화

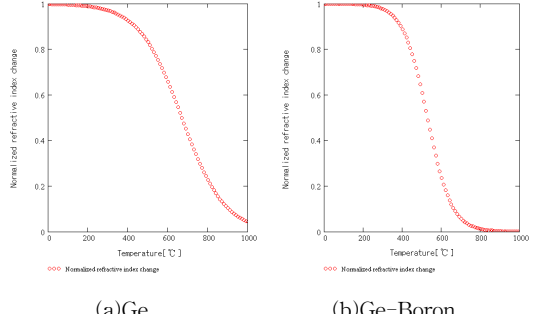
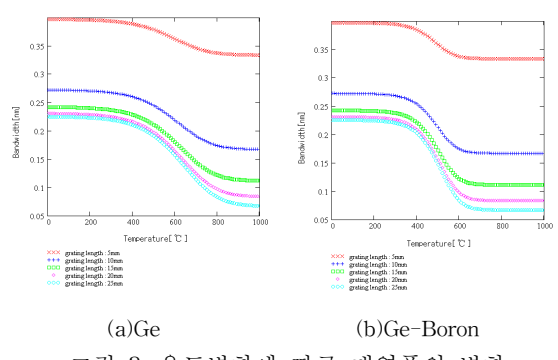


그림 2. 올도변화에 따른 정규화 굴절률 차



### 그림 3. 온노만화에 따른 대역족의 만화

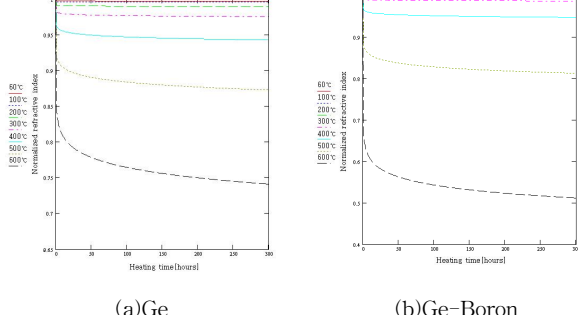


그림 4. 가열시간에 따른 정규화 굴절률 차

그림 1은 격자길이에 따라 FBG 필터의 온도변화에 따른 반사도를 나타낸 것으로, 700°C 이상에서는 반사도가 감소함으로 FBG가 필터로써의 동작을 하지 못함을 알 수 있다. 그림 2는 온도변화에 따른 정규화 굴절률 차의 변화를 나타낸 것으로 700°C 이상의 온도에서는 초기 굴절률 차에 비해 현저히 굴절률차가 감소하는 것을 알 수 있다. 그림 3은 격자길이에 따라 FBG 필터의 온도에 따른 반사스펙트럼의 대역폭 변화로 약 700°C 부근까지는 반사스펙트럼의 대역폭 변화는 크지 않으나, 그 이상의 온도에서는 대역폭이 급격히 감소함을 알 수 있다. 그림 4는 가열시간에 따른 정규화 굴절률 차의 변화로써, 가열시간에 따라 500°C 이상에서는 굴절률 차가 감소함을 알 수 있다.

IV. 결론

본 논문에서는 고온에서 파장가변 형 FBG 필터의 온도 특성을 수치해석을 통해 고찰하였다. 게르마늄 도핑 된 실리카 파이버에서의 FBG 필터는 게르마늄-보론이 도핑 된 FBG 필터에 비해 온도와 가열시간에 따른 변화가 크지 않아 온도의 변화에 더 안정함을 알 수 있다. 또한, FBG 필터의 격자길이가 10[mm] 인 경우 가열시간이 300시간 일 때, 가열온도가 500°C 이하에서는 두 가지 파이버 모두 온도의 변화에 대해 안정함을 알 수 있다.

참고문헌

- [1] K. O. Hill, Y. Fujii, D. C. Johnson and B. S. Kawasaki, *Appl. Phys. Lett.*, 62, 1035, 1993.
  - [2] Andreas Othonos, Kyriacos Kalli, "*Fiber Bragg Gratings Fundamentals and Application in Telecommunication and Sensing*", 2001-ISBN 0-89006-344-3.and Reinhold Co., New York(1987).
  - [3] Stephen R. Baker, Howard N. Rourke, Vernon Baker and Darren Goodchild, "Thermal Decay of Fiber Bragg Gratings Written in Boron and Germanium Codoped Silica Fiber," *J. Lightwave Technol.*, vol. 15, pp. 1470-1477, 1997.
  - [4] M. R. Shenoy, K. Thyagarajan, Vishnu and N. S. Madhavan, "Estimation of Characteristic Parameters of Fiber Bragg Gratings from Spectral Measurements," *SPIE* vol. 3666, pp. 94-99, 1999.